

Archive of SID

تأثیر نیرو و نانوذرات آلومینا بر مکانیزم های ایجاد آسیب ناشی از خراش نانو کامپوزیت زمینه پلی متیل متاکریلات

اززو سزاوار^{۱*}، سید مجتبی زبرجد^۲ و سید عبدالکریم سجادی^۳

چکیده

در این پژوهش نقش نانو ذرات الومینا و تأثیر افزایش نیرو بر روی رفتار خراش پلی متیل متاکریلات (PMMA) صورت بررسی قرار گرفته است. بدین منظور، نمونه های استاندارد از نانو گامپوزیت های زمینه پلی متیل متاکریلات تقویت شده با درصد های متفاوت وزنی الومینا (۰، ۵، ۱۰، ۱۵) با روش قالب گیری فشاری ساخته شدند. سپس آزمون خراش بر اساس استاندارد ASTM G171 در شرایط دمای محیط و سرعت خراش mm/s ۵ و تحت نیروهای خراشی ۱۰ و N ۱۵ انجام شد. برای بررسی و شناخت مکانیزم های خراش از میکروسکوپ الکترونی روشنی (SEM) استفاده شد. نتایج پژوهش نشان می دهد که سختی خراش نمونه ها به مقدار نانو ذرات الومینا بستگی دارد. به گونه ای که افزایش نانو ذرات از ۰ تا ۱۵ درصد باعث کاهش پهنای اعرض خراش از ۲۷۴ به ۲۱۴ μm می شود. همچنین، نتایج ارزیابی میکروسکوپی بیانگر این موضوع است که با اعمال نیروی خراش N ۱۵ اثر خراش در نمونه پلی متیل متاکریلات خالص به صورت ترک های فصل مشترکی ظاهر می شود. در حالی که افزودن نانو ذرات تا ۵ درصد وزنی باعث تغییر ترکها به کریز و افزایش تا ۱۵ درصد وزنی سبب بهبود مقاومت به خراش و ایجاد آسیب مار (Mar) می شود.

واژه های کلیدی: پلی متیل متاکریلات، الومینا، نانو گامپوزیت، رفتار خراش.

۱- دانشجوی کارشناسی ارشد مهندسی مواد دانشگاه فردوسی مشهد.

۲- دانشیار دانشگاه فردوسی مشهد.

۳- نویسنده مسئول مقاله: a sezavar@yahoo.com

پیشگفتار

آسیب‌های ایجاد شده ناشی از خراش در پلیمرها می‌توانند شامل اتو زدن^۵، بارگی^۶، شکاف^۷، ترک^۸ و براده برداری^۹ باشد^[۶]. گروهی از اینها در *Archives of SID*^{۱۰} مطالعه روی ابوجی^{۱۱} پژوهی کردند و پلی متیل متاکریلات را مطالعه کردند و نشان دادند در شرایط مشخص آزمون خراش، ویژگی‌های مکانیکی پلیمر مثل عدول و داکتیلیتی بر مکانیزم‌های خراش تاثیر می‌گذارند در پلیمرهای با عدول بالاتر شکاف‌های کم عمق تر تشکیل می‌شود و اثر انعطاف پذیری سطح آنها بالا باشد، به طور معمول تغییر شکل می‌شوند. هم‌چنین در پژوهشی دیگر تاثیر سخامت یک پوشش اکریلیک با زیر لایه فولادی روی رفتار خراش بورسی و نشان داده شده است که یک ضخامت بحرانی برای پوشش پلیمر وجود دارد که از آن پس رفتار خراش مثل یک ماده توده‌ای می‌شود.

پلی متیل متاکریلات دارای خاصیت استثنایی شفافیت نوری و مقاومت در برابر تشعشعات خارجی است. در مقابل قلیاهای، مایع‌های باک کننده، روغن‌ها و اسیدهای رفیق پابدار است. اما بسیاری از حلال‌ها روی آن البر می‌گذارند. خاصیت ویژه و منحصر به فرد آن یعنی انعکاس داخلی نور به طور صد درصد، موجب کاربرد آن در ساخت علایم خوبی. تبلیغاتی و مصارف پزشکی شده است^[۸]. پلی متیل متاکریلات به عنوان ماده دندانی در دندانپزشکی و هم‌چنین، به عنوان سیمان استخوان در پزشکی مورد استفاده واقع شده است. استفاده از پلی متیل متاکریلات (PMMA) به عنوان ماده دندانی به این صورت است که دانه‌های پلی متیل متاکریلات که از قبیل پلی‌پری‌اسیون شده‌اند، با مایع مونومر متاکریلات که شامل درصد کمی از پیوند دهنده‌های عرضی دی متیل اکریلات است، مخلوط می‌شود و ماده پایه دندانی را تولید می‌کند^[۹]. با وجود پژوهش‌های بسیاری که در زمینه خراش پلیمرها و هم‌چنین، نانوکامپوزیت‌های پلیمری انجام شده است، ولی هنوز بررسی کاملی در زمینه خراش نانوکامپوزیت PMMA/Al₂O₃ انجام نشده است. لذا، در این پژوهش

امروزه پلیمرها به گونه‌ای مسترد در صنایع گوناگون همچون صنعت تکنرولوژیک، وسایل خانگی و کاربردهای مربوط به وسائل نقلیه استفاده می‌شوند و چون بخت ریاضی شناختی اینها در برخی از این کاربردها دارای اهمیت است، مبحث خراش پلیمرها نیز مورد توجه قرار می‌گیرد. برخلاف سرامیک‌ها و فلزات، پلیمرها حتی با نیروهای تماسی کم تر به تغییر سطحی حساس می‌باشد^[۱]. آزمون خراش پکی از میتوترین روش‌ها جهت تعیین مقاومت پلیمرها و پوشش‌ها در برابر نیروهای دینامیکی می‌باشد^[۲]. خراش، فرایند تغییرشکل مکانیکی است که نیروی کشش شده‌ای بر یک سوزن اعمال می‌شود و سوزن با سرعت مشخص روی سطح پلیمر حرکت کرده و از خود باقی می‌گذارد. باید توجه داشت شکل و هندسه نوک سوزن خراش دهنده، ضخامت زیر لایه، ویژگی‌های سطح ماده و سرعت خراش دهنده همگی می‌توانند بر رفتار خراش پلیمر تاثیر گذار باشند. در دو دهه اخیر، تلاش‌های پژوهشی زیادی برای بهبود مقاومت به خراش پلیمرها انجام شده است^[۱-۲]. برای بهبود در تربیوپلیزی و دیگر ویژگی‌های فیزیکی و مکانیکی پلیمرها مثل عدول استحکام، چقرمگی شکست، هدایت الکتریکی و ... بسته به کاربردهای مورد نظر، ایاع گوناگونی از تقویت کننده‌ها به پلیمرها افزوده می‌شوند. تیار به استفاده از کامپوزیت‌های مرسوم (میکروکامپوزیت‌ها) باعث می‌گردد تا برخی از خواص که از یکدیگر تاثیر می‌بینند به گونه یکسان بهبود پیدا نکند. برای مثال، افزایش سفتی و استحکام که در مقاومت خراش پلیمرها نقشی مهم دارند، باعث کاهش چقرمگی شکست و برخی ویژگی‌های دیگر می‌شوند. برای غلبه بر این مشکل که ناشی از حضور تقویت کننده‌های میکرونی است، اندازه تقویت کننده‌ها باید کوچک و در حد نانو شود^[۴]. انواع آسیب‌های ناشی از خراش که برای شمار زیادی از پلیمرها مشاهده شده است، به صورت مار^۱، پولک ماهی^۲، ترک‌های موازی^۳ و کنده شدن سطح ماده^۴ می‌باشد^[۵]. نتایج پژوهش‌ها نشان می‌دهند که www.SID.ir

^۵ - Ironing
^۶ - Tearing
^۷ - Groving
^۸ - Cracking
^۹ - Chipping

^۱ - Mar

^۲ - Fish Scale

^۳ - Parabolic Cracks

^۴ - Removal Materials

در قالب باز شد تا اضافات خصیر حذف شود سپس دوباره در قالب بسته شد و زیر فشار قرار گرفت (۱۵).

Archive of SID

آزمون خراش

برای انجام آزمون خراش از دستگاه خراش ساخت شرکت پارسا پلیمر شریف استفاده شد. این دستگاه قابلیت اعمال نیروهای گوناگون و تعییر سرعت خراش دهی به گونه پیوسته را دارد می باشد. نمونه های سی از آماده سازی و پلیش به گونه مناسب در دستگاه قرار گرفته و آزمون خراش در نیروهای ۱۰ و ۱۵ N انجام گردید. شکل (۲).

ارزیابی میکروسکوپی

برای بررسی نقش نانو ذرات و همچنین، اثر نیرو بر روی راستارخراش از میکروسکوپ الکترونی روبی مدل VP LEO 1400 ساخت کسور آلمان و آنکلیس استفاده شد. بمنظور جلوگیری از تجمع بار الکتریکی، سطح نمونه ها پیش از ارزیابی میکروسکوپی با بوشش طلا پوشانده شد. برای مقایسه دقیق تر مکانیزم های خراش، با توجه به بازگشت الاستیکی که پس از خراش نمونه ها اتفاق می افتاد، برای همه نمونه ها از نظر فاصله زمانی بین خراش و عکسبرداری با میکروسکوپ الکترونی روبی شرایط یکسان در نظر گرفته شد.

نتایج و بحث

شکل (۳) تصویر میکروسکوپ نوری را از سطح نمونه خالص پلی متیکریلات پیش از انجام آزمون خراش نشان می دهد. همان گونه که مشاهده می شود، سطح نمونه شامل دانه های پلی متیکریلات است که در زمینه پلیمری پراکنده شده اند. در استاندارد ASTM G171 از پهنای خراش (عرض خراش) برای تعیین سختی خراش و در نتیجه، مقایسه مقاومت ماده در برابر خراش استفاده می شود. شکل (۴) تغییرات عرض خراش بر حسب درصد وزنی نانو ذرات الومینا را نشان می دهد. همان گونه که مشاهده می شود، با افزایش درصد وزنی نانو ذرات الومینا، عرض خراش کاهش یافته است. با توجه به اینکه رفتار خراش یک پلیمر واپسی به مقاومت آن در برابر نفوذ و حرکت یک سوزن خراش دهنده است،

به برسی تأثیر افزایش نیرو و نانوذرات الومینا بر مکانیزم های ایجاد ایبب ناشی از خراش این نانو کامپوزیت پایه پلیمری برداخته می شود.

مواد و روش پژوهش

مواد آزمایش

در این پژوهش از اکریل خود پخت ویژه توصیه (با نام تجاری اکریل پارس) محصول شرکت صنایع پلیمری ماراپک به عنوان زمینه پلیمری استفاده شده است. همچنین، از نانوذرات الومینا (خلوص ۰/۹۹/۷) و اندازه متوسط ۲۵nm به عنوان تلویت گننده استفاده گردید. شکل (۱)

تصویر میکروسکوپ الکترونی عبوری گرفته شده از نانو ذرات الومینا را نشان می دهد. همان گونه که از شکل مشخص است نانو ذرات به شکل بی نظم و توده ای می باشند.

نمونه سازی

برای بدست اوردن توزیع پکشواخت از نانو ذرات الومینا در زمینه پلیمری و کاهش میزان اگلومرۀ شدن روش اسپاکاری بکار گرفته شد. در این روش از دستگاه میکر میل مدل MM400 ساخت کمپانی Retch استفاده شد. پودر پلی متیکریلات و نانو ذرات الومینا با درصد های وزنی ۰، ۵، ۱۰ و ۱۵ درون ظرفی از جنس فولاد زنگ نزن با کوله هایی از همان جنس قرار گرفت و برای جلوگیری از افزایش دما ظروف میکر میل پیش از قرار گرفتن در دستگاه به مدت ۵ دقیقه درون ظرف حاوی نیتروژن مایع گذاشته شدند. اسپاکاری به مدت ۱۰ دقیقه و با فرکанс ۲۰ Hz انجام گرفت. نمونه های آزمون خراش بر مبنای استاندارد ASTM G171 ساخته شدند. بدین منظور برای تولید نمونه های نانوکامپوزیت، مخلوط پودر پلی متیکریلات و نانو ذرات الومینا آسیا کاری شده، بر اساس راهکار سازنده با مایع متیکریلات مخلوط شد و پس از رسیدن به مرحله خمیری، خمیر پدست آفده شد.

پس از قرار دادن خمیر در قالب و بستن آن، فشاری معادل Kg ۲۵۰-۲۰۰ به ان وارد گردید. در این مرحله

می‌شود. حضور این نوع آسیب‌های ناشی از خراش و افزایش انها تحت نیروی خراش N ۱۵ نشان دهنده این مطلب است که افزایش *Archive of SID*^۱ ایجاد آسیب‌هایی چندی تر در این پلیمر شده است و مکانیزم خراش از نوع آسیب (مار) به ایجاد تردک تبدیل شده است. این نتیجه در پژوهش‌های دیگران نیز مشاهده شده است برای مثال، بر اساس پژوهش‌های Sue^۲ و همکارانش^۳ ادا ر- پلیمرهای ترد و ضعیف مانند پلی استایرن خوب ارمون خراش تحت نیروی کم، آسیب مار مشاهده می‌شود، اما با افزایش نیروی خراش، مکانیزم بولک ماهی همراه با میکرو تردک‌ها، گریزها و حفره‌ها ایجاد می‌شود و هنگام اعمال نیروی خراش بالاتر ماده به صورت نامتسلماً از سطح کنده می‌شود.

اشکال (۷-الف) و (۷-ب) تصاویر میکروسکوپ الکترونی روشنی از سطح خراش دیده، نانوگامپوزیت زمینه پلی متیل متاکریلات ثقوب شده با ۵ درصد وزنی الومینیا تحت نیروهای خراش N ۱۰ و N ۱۵ را نمایش می‌دهند. همان‌گونه که از شکل مشخص است، در نیروهای خراش N ۱۰ افزون بر وجود تردک‌های فصل مترکی، گریزهایی نیز در زمینه پلیمری ایجاد می‌شود (۷-الف). افزایش نیروی خراش از ۱۰ به N ۱۵، باعث افزایش عرض خراش از ۲۱۱ به μm ۲۶۲ می‌گردد (شکل (۷-ب)). همان‌گونه که در تصویر نیز مشاهده می‌شود، با افزایش نیرو به N ۱۵، مکانیزم خراش به سمت تشكیل کریز پیش می‌رود و مساحت کریزها در این حالت نسبت به مساحت گریزهای ایجاد شده تحت نیروی خراش N ۱۰ افزایش یافته و همچنین، به گونه‌ای گسترش تر در سطح خراش پراکنده شده است. کریزها در برخی از قسمت‌های سطح خراش در داخل دانه‌های پلی متیل متاکریلات نیز مشاهده می‌شوند. افزون بر این، حالت چین خوردگی نیز در سطح خراش وجود دارد که به دلیل افزایش تقابل پلیمر به تغییر شکل مومسان ناشی از افزایش نیروی اعمالی می‌باشد. مقایسه سطح خراش نمونه نانوگامپوزیت PMMA/Al₂O₃ با پلیمر خالص پلی متیل متاکریلات نشان می‌دهد که حضور ۰.۵٪ درصد وزنی نانو ذرات الومینیا باعث ضعیف شدن زمینه پلیمری شده است زیرا با افزودن نانو ذرات اثر تردک‌گری مایع مونومر تضعیف شده و در نتیجه، کاهش

پتانبراین، بر احتی می‌توان این مقاومت را به سختی خراش نسبت داد. در حقیقت، سختی خراش، بیانگر مقاومت سطح جامد به شفود به وسیله حرکت سوزن با ساعه راس سختی نیرو و سرعت ثابت می‌باشد و عدد سختی خراش، مقداری است که با واحد نیرو بر واحد سطح بیان می‌شود.

براساس استاندارد ASTM G171 سختی خراش بر اساس رابطه (۱) محاسبه می‌شود:

$$(1) \quad H_s = \frac{8F}{\pi W^2}$$

که در رابطه بالا، F و W به ترتیب سختی خراش بر حسب MPa، نیروی اعمالی خراش بر حسب N، عرض خراش بر حسب mm می‌باشد. شکل (۵) واشتگی مقدار سختی خراش نسبت به درصد وزنی نانو ذرات الومینیا را نمایش می‌دهد.

اشکال (۶-الف) و (۶-ب) تصاویر میکروسکوپ الکترونی روشنی از سطح خراش پلی متیل متاکریلات خالص تحت تاثیر نیروهای ۱۰ و N ۱۵ نیوتن را نشان می‌دهند. همان‌گونه که از شکل مشخص است نوع تخریب در نمونه پلی متیل متاکریلات خالص که تحت نیروی خراش N ۱۰ گرفته است از نوع مار می‌باشد که با تعداد اندک تردک‌هایی که در فصل مشترک دانه‌های پلی متیل متاکریلات و زمینه پلیمر تشکیل شده است، همراه می‌باشد (شکل (۶-الف)). در حقیقت آسیب مار شامل تغییر شکل الاستیک برگشت پذیر، تغییر شکل ویسکو الاستیک واپس به زمان و تغییر شکل موisman برگشت نایدپر می‌باشد [۵] افزایش نیروی خراش از ۱۰ به N ۱۵، باعث افزایش عرض خراش از ۲۱۷ به μm ۲۷۴ می‌گردد شکل (۶-ب). همان‌گونه که در تصویر نیز مشاهده می‌شود، تردک‌های ایجاد شده در اثر خراش، در فصل مشترک زمینه و دانه‌های پلی متیل متاکریلات تشکیل شده اند که این تردک‌ها در سرتاسر سطح خراش پراکنده شده اند. همچنین، در زمینه، حفره‌هایی^۱ را می‌توان مشاهده کرد و نیز در قسمت‌هایی از سطح پلیمر که نزدیک به لبه خراش می‌باشد، خالص پلیپلی خوردگی^۲ سطح دیده

۱ - Voids

۲ - Wrinkle

ناتو ذرات الومينا، آسیب (مار) نیز که در حالت پلیمر خالص با همبین مقدار نیتروی خراش قابل مشاهده بود، در اینجا به سختی قابل تشخیص است. افزایش نیتروی خراش از ۱۰ به N ۱۵، باعث افزایش عرض خراش از ۲۰.۵ به μm و ۲۱۰ می‌گردد شکل (۹-ب). همان گونه که SUE و همکارانش [۱] در برخواستی در ارتباط با خراش پلیمرها به این نتیجه رسیدند، برای پلیمرهایی که استحکام و بازگشت الاستیکی زیادی دارند، تأثیری که نیتروهای خراش اعمالی به اندازه کافی بالاتر است. آسیب (مار) قابل مشاهده نمی‌باشد. همچنین، برای پلیمرهای ترد و مستحکم آسیب (مار) تحت نیتروی خراش کم ایجاد می‌شود و با وجود ترد بودن این پلیمر، برای مشاهده هر گونه آسیب قابل تشخیص نیتروی خراش بالایی نیاز است.

نتیجه گیری

در این برخواست نانوکامپوزیت زمینه پلی متیل متاکریلات تقویت شده با درصد های وزنی متفاوت الومينا (۱۵ و ۱۰، ۵ و ۰، ۰) تولید و رفتار خراش آن مورد ارزیابی قرار گرفت. نتایج نشان دهنده این است که مکانیزم خراش وابسته به نیتروی اعمالی و درصد وزنی فاز تقویت کننده می باشد به گونه‌ای که:

- ناتو ذرات الومينا به عنوان یک تقویت کننده مناسب در راستای افزایش مقاومت به خراش زمینه پلی متیل متاکریلات می باشد.

- حضور ۵٪ وزنی ناتو ذرات الومينا باعث ضعیف شدن زمینه پلیمری شده است زیرا با افزودن ناتو ذرات اثر ترکنندگی مایع مونومر تضعیف شده و در نتیجه، کاهش چستنگی میان دانه های پلیمر PMMA با زمینه پیشتر می شود به گونه‌ای که در هر دو نیتروی خراش ۱۰ و N ۱۵ کریزهای در سطح زمینه پلیمری ایجاد می شود. هرچند افزایش نیتروی خراش از ۱۰ به N ۱۵ تائیر زیادی بر تغییر مکانیزم خراش نمی‌گذارد، اما باعث می شود که آسیب های ناشی از خراش به گونه‌ای گستره تر روی سطح نمونه پراکنده شوند.

چستنگی میان دانه های پلیمر PMMA با زمینه پیشتر می شود و در هر دو نیتروی خراش ۱۰ و N ۱۵ کریزهای در سطح زمینه پلیمری ایجاد می شود. شکل (۷) تصویر میکروسکوب الکترونی روشنی رویشی از سطح خراش دیده نانوکامپوزیت زمینه پلی متیل متاکریلات تقویت شده با ۱۰ درصد وزنی ناتوکامپوزیت (۱۰-ب) در برخواست نیتروهای خراش ۱۰ و N ۱۵ نیابت را نمایش می‌دهد.

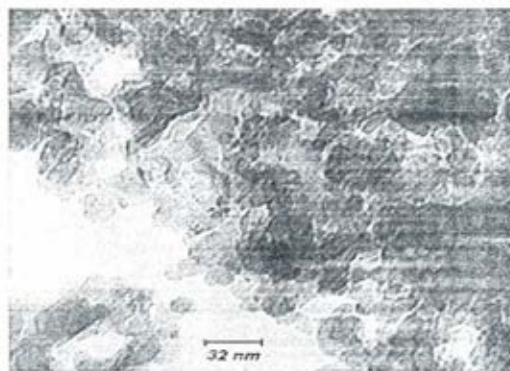
شکل های (۸-الف) و (۸-ب) تصاویر میکروسکوب الکترونی روشنی از سطح خراش دیده نانوکامپوزیت زمینه پلی متیل متاکریلات تقویت شده با ۱۰ درصد وزنی الومينا تحت نیتروهای خراش ۱۰ و N ۱۵ نیابت را نمایش می‌دهند. افزایش الومينا تا ۱۰ درصد وزنی باعث افزایش مقاومت به خراش می شود. در درصد های وزنی بالا (۱۰٪) ناتو ذرات، تجمع کرده و در برخی بخش های سطح به صورت تجمعات میکرونوی ظاهر می شوند. این مسئله عاملی برای افزایش مقاومت به خراش است زیرا این تجمعات در برابر خراش مقاومت کرده و از زنجیره های پلیمری اطراف آن محافظت می کنند. همان گونه که مشاهده می شود، آسیب ها در این ناتو کامپوزیت ها در حد آسیب های اندامی می باشد لذا، تحت نیتروی N ۱۰ آسیب های (مار) ایجاد می شود. شکل (۸-الف)، افزایش نیتروی خراش به N ۱۵، باعث افزایش عرض خراش از ۲۱۱ μm به ۲۵۷ می‌گردد شکل (۸-ب). همان گونه که در تصویر مشاهده می شود، با افزایش نیترو تا N ۱۵ غذوه بر آسیب (مار)، تعداد کمی ترک بین فصل مشترک دانه های پلی متیل متاکریلات و زمینه پلیمر تشکیل شده است.

شکل (۹-الف) و (۹-ب) تصاویر میکروسکوب الکترونی روشنی از سطح خراش دیده نانوکامپوزیت زمینه پلی متیل متاکریلات تقویت شده با ۱۵ درصد وزنی الومينا تحت نیتروهای خراش ۱۰ و N ۱۵ را نمایش می دهد. با افزایش کارصد وزنی (۱۵٪) و رسیدن آن به ۱۵ درصد مشاهده می شود که حتی در نیتروی N ۱۵ نیز تخریب جدی روی سطح نانوکامپوزیت در اثر خراش به وجود نیامده است. به علت افزایش استحکام ماده در اثر افزایش

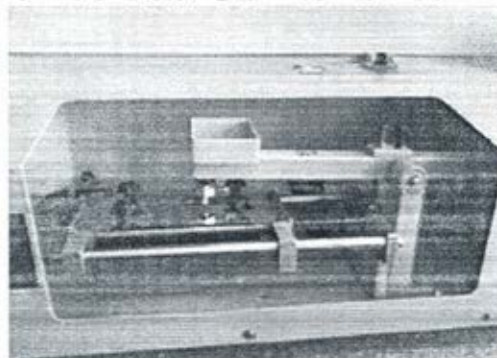
منابع

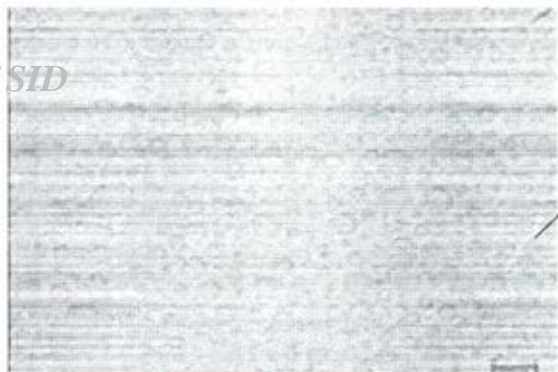
- 1- K. Friedrich, H.J. Sue, P. Liu, A.A. Almajid, "Scratch SEDistance of high performance polymers", Tribology International, Vol.44, pp. 1032–1046, 2011.
- 2- P. Liu, R. L. Browning, H.J. Sue, J. Li, S. Jones, "Quantitative scratch visibility assessment of polymers based on Erichsen and ASTM/ISO scratch testing methodologies", Polymer Testing, Vol.30, pp. 633–640, 2011.
- 3- R. L. Browning, H. Jiang, H.J. Sue, "Scratch behavior of polymeric materials", Tribology of polymeric nanocomposites, Vol.55, pp. 354-369, 2008.
- 4- R.L. Browning, G. T. Lim, A. Moyse, H. J. Sue, H. Chen, J.D. Earls, "Quantitative evaluation of scratch resistance of polymeric coatings based on a standardized progressive load scratch test", Surface & Coatings Technology, Vol.201, pp. 2970–2976, 2006.
- 5- H. Jiang, R. Browning, H.J. Sue, "Understanding of scratch induced damage mechanisms in polymers", Polymer, Vol.50, pp. 4056–2065, 2009.
- 6- A. Dasari, Z. Z. Yu, Y.W. Mai, "wear and scratch damage in polymer nanocomposites", Tribology of polymeric nanocomposites, Vol.55, pp. 374-396, 2008.
- 7- J. S. S. Wong, H. J. Sue, K.Y. Zeng, R. K.Y. Li, Y. W. Mai, "Scratch damage of polymers in nanoscale", Acta Mater, Vol.52, pp. 431, 2004.
- ۸- مهندسی پلاستیک، گرافیزه، ترجمه عیوض‌زاده کوکسی، چاپ دوم، دانشگاه تربیت مدرس، ۱۳۸۵
- 9- A.M. Vuorinen, S. R. Dyer, V.J. Lippo Lassila, Pekka K. Vallittu, "Effect of rigid rod polymer filler on mechanical properties of poly-methyl methacrylate denture base material", dental materials, Vol.24, pp.708–713, 2008.
- 10- Billmeyer, F.W., "Text book of polymer science" wiley interscience, 1971.

پیوست‌ها

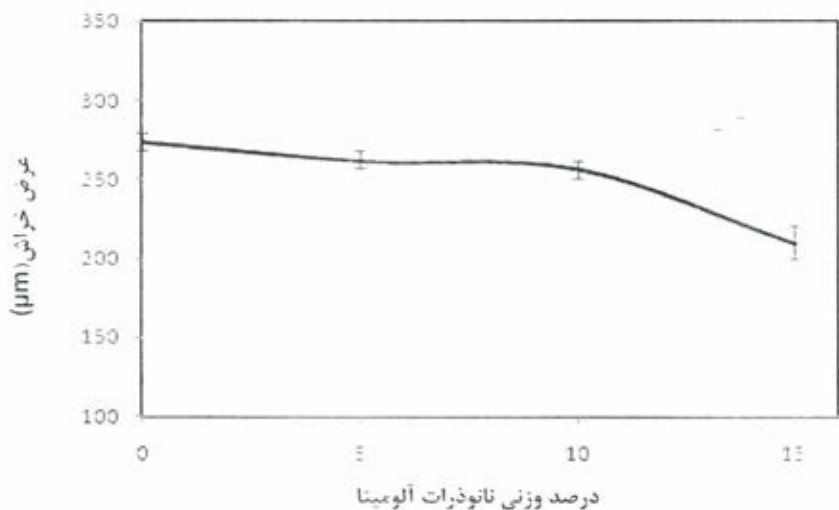


شکل ۱- تصویر میکروسکوب الکترونی عبوری از نانوذرات آلومینیا

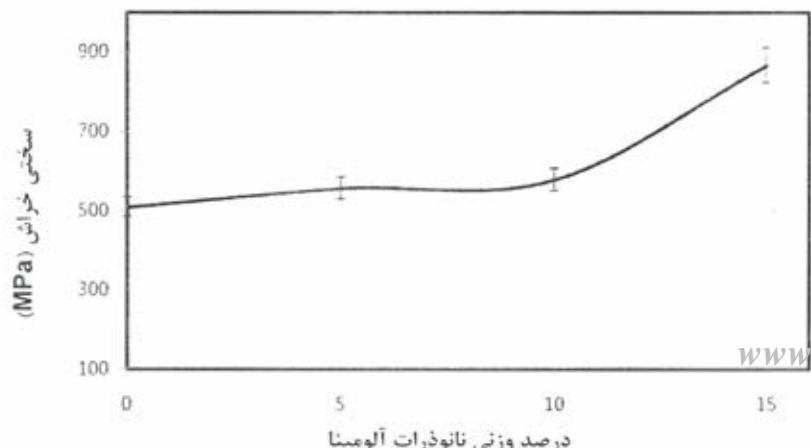


Archive of SID


شکل ۳- تصویر میکروسکوب توری از سطح نمونه خالص پیش از آزمون خراش.

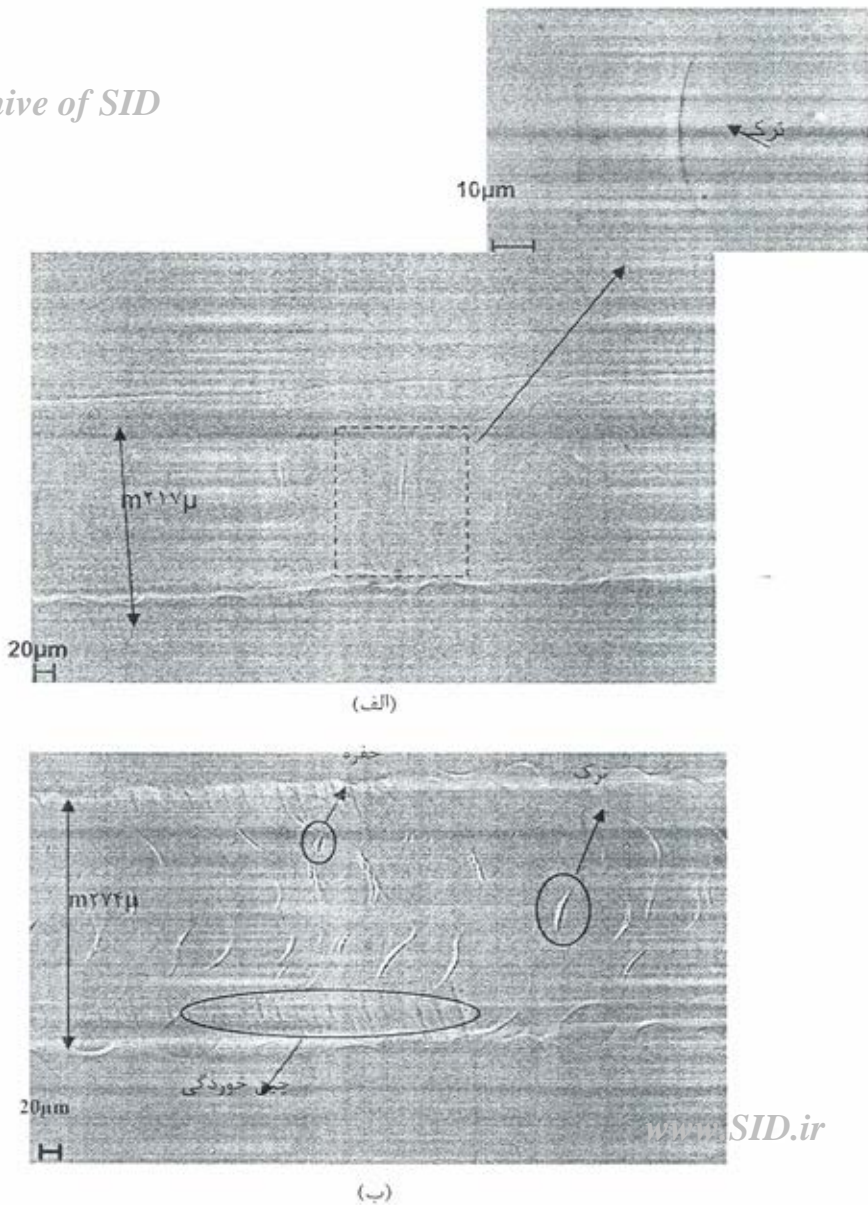


شکل ۴- نمودار عرض خراش بر حسب درصد وزنی نانوذرات آلومینا



شکل ۵- نمودار سختی خراش بر حسب درصد وزنی نانوذرات آلومینا.

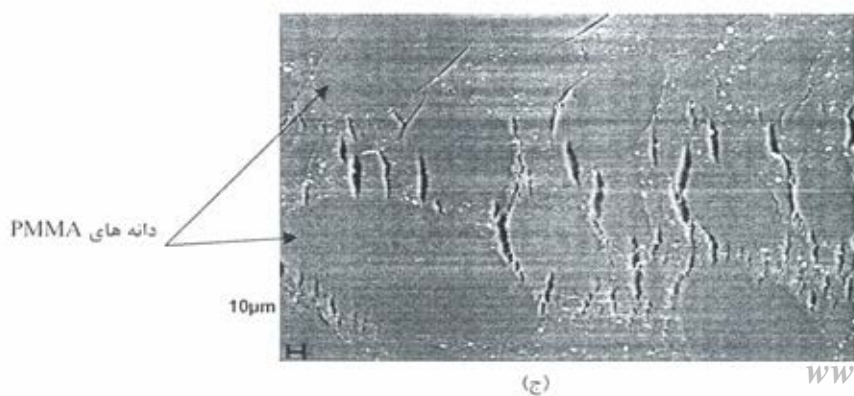
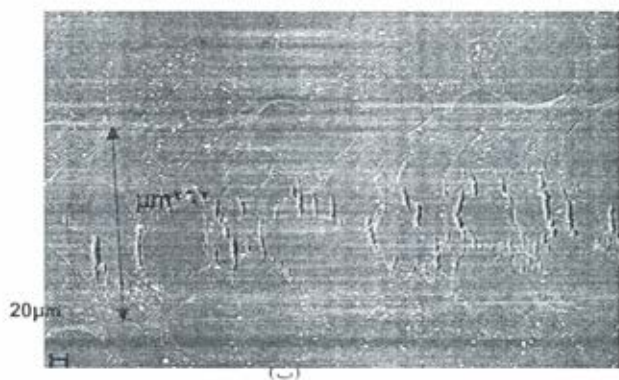
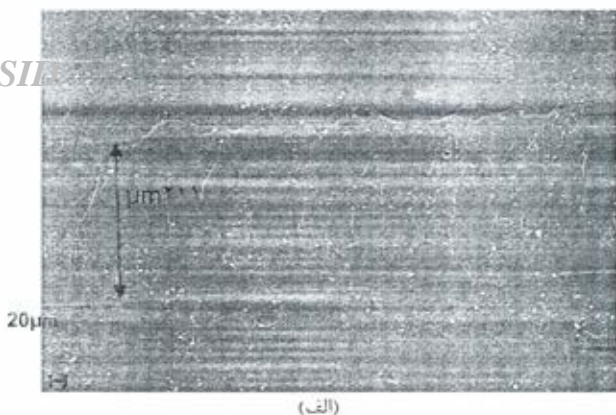
Archive of SID



شکل ۶- تصویر عیکروسکوپ الکترونی روبشی از سطح خراش نمونه های خالص پلی متیل متا کربنات

الف) نیروی 10N ب) نیروی 15N

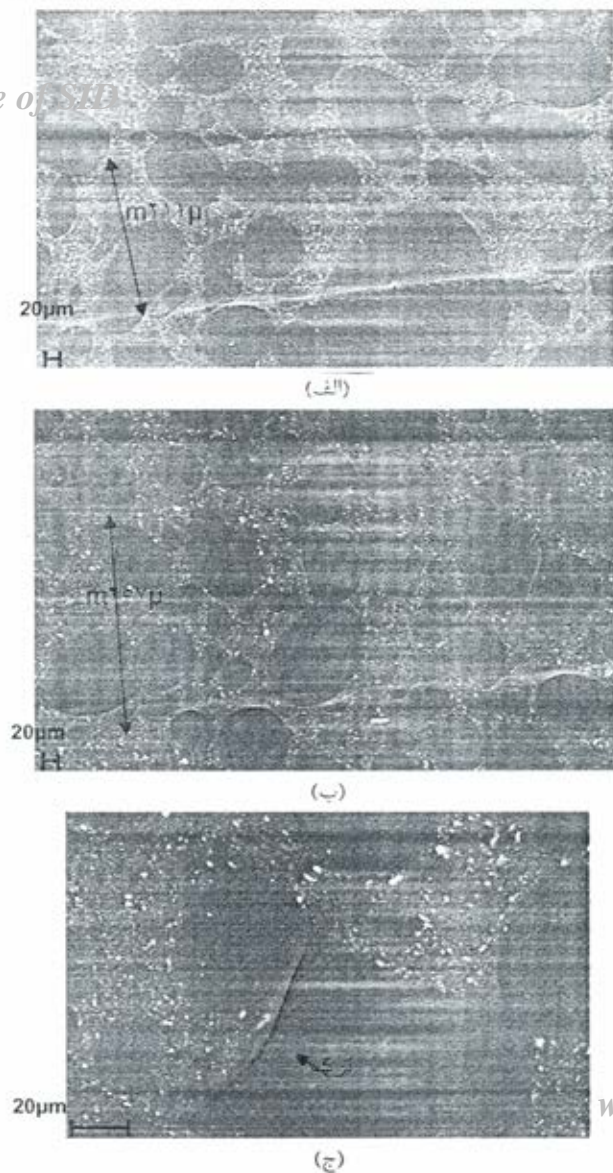
Archive of SID



www.SID.ir

شکل ۷ - تصویر عیکروسکوب الکترونی روبشی از سطح خراش نمونه های با ۵٪ وزنی ناتوذرات آلومینیا
الف) نیروی خراش ۱۰ N ب) نیروی خراش ۱۵ N ج) تصویر ب با بزرگنمایی بزرگ

Archive of SID



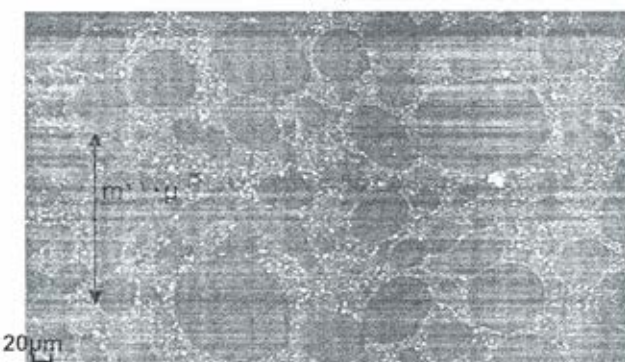
www.SID.ir

شکل ۸- تصویر میکروسکوپ الکترونی روبشی از سطح خراش نمونه های با ۱۰٪ وزنی نانو ذرات آلومینا
 (الف) نیروی خراش N۱۰ ب) نیروی خراش N۱۵ ج) تصویر ب با بزرگنمای بزرگ تر

Archive of SID



(الف)



(ب)



(ج)

www.SID.ir

شکل ۹- تصویر عیکروسکوب الکترونی رویشی از سطح خراش نمونه های با ۰.۱۵٪ وزنی نانوذرات آلمینیا
 (الف) نیروی خراش ۱۰N (ب) نیروی خراش ۱۵N (ج) تصویر الف با بزرگنمایی بزرگتر